

УДК 533.6+517.95

АНАЛИТИЧЕСКОЕ И ЧИСЛЕННОЕ ИССЛЕДОВАНИЕ ОБОБЩЕННЫХ ЗАДАЧ КОШИ, ВОЗНИКАЮЩИХ В ГАЗОВОЙ ДИНАМИКЕ

А. Л. Казаков, А. А. Лемперт

Институт динамики систем и теории управления СО РАН, 664033 Иркутск
E-mails: kazakov@icc.ru, lempert@icc.ru

Для двух обобщенных задач Коши с условиями на двух поверхностях доказаны теоремы существования и единственности решений в классе аналитических функций. С использованием доказанных теорем для численного решения задач строятся неявные разностные схемы. Создана программа, выполнены соответствующие численные расчеты.

Ключевые слова: газовая динамика, ударная волна, краевая задача, теорема существования, разностная схема.

Введение. Математическое описание течений идеального газа с ударными волнами [1] сводится к постановке начально-краевой задачи специального вида для системы квазилинейных уравнений с частными производными, которая называется обобщенной задачей Коши (ОЗК). Отличие ОЗК от задачи Коши в традиционной постановке состоит в том, что начально-краевые условия задаются не на одной, а на двух или более поверхностях. От смешанной задачи ОЗК отличает то, что в ней число начально-краевых условий равно числу искомых функций. Впервые такая задача рассмотрена в работе [2] при исследовании совместности систем дифференциальных уравнений с частными производными. Общая теорема существования и единственности решения ОЗК доказана в [3]. Подробный обзор работ, посвященных исследованию ОЗК, приведен в [4].

В работах [5–7] рассмотрен ряд задач газовой динамики, которые в рамках теории дифференциальных уравнений с частными производными являются ОЗК с начально-краевыми условиями на двух поверхностях. Для всех рассмотренных в [5–7] задач доказаны теоремы существования и единственности кусочно-аналитических решений. Кроме того, в работе [8] при рассмотрении газодинамической задачи о распространении ударной волны от оси или центра симметрии доказана теорема существования и единственности решения ОЗК с особенностью.

В настоящей работе для двух ОЗК с начально-краевыми условиями на двух поверхностях доказаны теоремы существования и единственности решений в классе аналитических функций. С использованием доказанных теорем для численного решения задач строятся неявные разностные схемы. Системы разностных уравнений сводятся к системам линейных алгебраических уравнений (СЛАУ) с трехдиагональными матрицами. Создана программа, которая протестирована на модельных примерах, проведены соответствующие численные расчеты.

Работа выполнена при частичной финансовой поддержке Российского фонда фундаментальных исследований (код проекта 11-07-00245).

1. Постановка задачи. Рассматривается система уравнений газовой динамики для идеального политропного газа с уравнением состояния

$$p = A^2(S)\rho^\gamma/\gamma,$$

где p — давление; S — энтропия; ρ — плотность; $\gamma = \text{const} > 1$ — показатель политропы газа. Ниже исследуются плоскосимметричные ($\nu = 0$), цилиндрически-симметричные ($\nu = 1$) или сферически-симметричные ($\nu = 2$) течения, зависящие от времени t и расстояния от начала координат, оси или центра симметрии r . В качестве искомым функций $\mathbf{U} = \mathbf{U}(t, r)$ принимаются функции $\mathbf{U} = (\sigma, u, s)$, где $\sigma = \rho^{(\gamma-1)/2}$; u — скорость газа; s — функция $A(S)$. Скорость звука задается соотношением $c = \sigma s$, а система уравнений газовой динамики имеет вид

$$\begin{aligned} \sigma_t + u\sigma_r + \frac{\gamma-1}{2}\sigma\left(u_r + \nu\frac{u}{r}\right) &= 0, \\ u_t + \frac{2}{\gamma-1}\sigma s^2\sigma_r + uu_r + \frac{2}{\gamma}\sigma^2ss_r &= 0, \\ s_t + us_r &= 0. \end{aligned} \tag{1}$$

Пусть известно аналитическое по переменным t, r решение системы (1) в некоторой окрестности точки с координатами $t = 0, r = 0$. (Это решение будем называть фоновым течением.) Кроме того, предполагается, что $u|_{t=0, r=0} < 0, \sigma|_{t=0, r=0} > 0, s|_{t=0, r=0} > 0$. Считается, что при $r = 0$ скорость газа $u = 0$, вследствие чего возникает сильный разрыв решения — ударная волна (УВ), фронт которой неизвестен и определяется при решении задачи. Строится решение системы (1) за фронтом УВ. При $\nu = 0$ поставленная задача описывает отражение УВ от жесткой стенки, при $\nu = 1, 2$ — распространение УВ от оси или центра симметрии.

Данная газодинамическая задача сводится к ОЗК. Для этого в системе (1) выполняется замена независимых и зависимых переменных. Сначала независимые переменные r, t заменяются на x, y : $r = \varphi(x), t = y + x$. Якобиан преобразования равен $J = \varphi'(x)$. Функция $r = \varphi(t)$, задающая траекторию движения УВ, неизвестна, однако известно, что $\varphi(0) = 0$. Главная цель замены — перевести ось $r = 0$ в ось $x = 0$, фронт УВ — в ось $y = 0$.

Прежде чем ввести новые неизвестные функции, введем следующие обозначения: \mathbf{U} — искомое решение в области между фронтом УВ и осью (центром) симметрии; \mathbf{U}^1 — фоновое течение — и запишем условия Гюгионо на УВ (т. е. на оси $y = 0$) в эквивалентном виде (что возможно в силу теоремы определенности [1]):

$$D|_{y=0} = D^*(\mathbf{U}^1, u)|_{y=0}, \quad \sigma|_{y=0} = \sigma^*(\mathbf{U}^1, u)|_{y=0}, \quad s|_{y=0} = s^*(\mathbf{U}^1, u)|_{y=0}. \tag{2}$$

Выражения для D^*, σ^*, s^* вследствие громоздкости в данной работе не приводятся.

Как отмечено выше, $u|_{x=0} = 0$, поэтому величины $D_0 = D|_{x=y=0}, \sigma_{00} = \sigma|_{x=y=0}, s_{00} = s|_{x=y=0}$ однозначно определяются из (2). При этом $c_{00} = s_{00}\sigma_{00} > 0, D_0 > 0$. Следовательно, замена в точке с координатами $t = 0, r = 0$ является невырожденной, а в случае аналитичности функции $\varphi(x)$ она будет невырожденной и в некоторой окрестности начала координат. Введем новые неизвестные функции u', v, z, w :

$$u' = u, \quad v = \sigma - \sigma^*, \quad w = \varphi, \quad z = s - s^*.$$

После проведения ряда преобразований (достаточно громоздких) система (1) в новых переменных принимает вид

$$u_x = \frac{1 - M_0^2}{1 + \theta M_0} u_y + \frac{M_0(1 + \theta)}{1 + \theta M_0} v_x - \frac{\nu}{1 + \theta M_0} \frac{u}{x} + Y_1,$$

$$v_y = \frac{M_0(\theta - 1)}{1 + \theta M_0} u_y + \frac{1}{1 + \theta M_0} v_x + \frac{\nu\theta}{(1 + \theta M_0)(1 + \theta)} \frac{u}{x} + Y_2, \quad (3)$$

$$w_x = D^* \Big|_{y=0}, \quad z_y = Y_3.$$

Здесь штрих перед искомой функцией u опущен для упрощения обозначений; $M_0 = D_0/(\sigma_{00}s_{00})$ (согласно теореме Цемплена $0 < M_0 < 1$); константа θ появляется при дифференцировании по u условий Гюгонио в виде (2) (можно показать, что $\theta > 0$); Y_1, Y_2, Y_3 — функции, зависящие от независимых переменных, искомых функций и их первых производных, причем зависимость от производных является линейной, и коэффициенты перед ними обращаются в нуль в точке с координатами $x = 0, y = 0$. Иными словами, система (1) является квазилинейной, причем в коэффициентах перед производными выделены главные части. Вид функций Y_1, Y_2, Y_3 не приводится вследствие громоздкости выражений для них.

Условия для скорости газа $u = 0$ при $r = 0$ и условия Гюгонио на УВ в новых переменных записываются в виде

$$w(0) = 0, \quad u(0, y) = 0, \quad v(x, 0) = 0, \quad z(x, 0) = 0. \quad (4)$$

Таким образом, исходная газодинамическая задача сведена к ОЗК.

Нетрудно заметить, что в задаче (3), (4) “главными” являются первые два уравнения системы и искомые функции u, v . Основные трудности, возникающие как при аналитическом, так и при численном решении задачи (3), (4), сохраняются и при решении ОЗК для u, v . Далее рассматриваются такие задачи без особенности ($\nu = 0$) и с особенностью ($\nu > 0$).

2. Задача без особенности. Рассматривается простейшая ОЗК для системы квазилинейных уравнений с частными производными в случае

$$\begin{aligned} u_x &= a(x, y, u, v)u_y + b(x, y, u, v)v_x + f(x, y, u, v), \\ v_y &= c(x, y, u, v)u_x + d(x, y, u, v)v_x + g(x, y, u, v), \\ u(0, y) &= 0, \quad v(x, 0) = 0. \end{aligned} \quad (5)$$

Наряду с задачей о регулярном отражении УВ от жесткой стенки к обобщению задачи (5) сводится также задача о резком вдвигании в газ непроницаемого поршня. В этом случае в точке O с координатами $x = 0, y = 0, u = 0, v = 0$ можно положить $A = a(O), B = B(O), C = c(O), D = d(O), \alpha = AD, \beta = BC, \gamma = 1 + \alpha - \beta, \mu_0 = 1, \mu_1 = 1, \mu_{n+1} = \gamma\mu_n - \alpha\mu_{n-1}, \xi_0 = 1, \xi_1 = \gamma, \xi_{n+1} = \gamma\xi_n - \alpha\xi_{n-1}, n = 1, 2, \dots$

Лемма 1. Пусть $\mu_n \neq 0, \gamma \neq 0, \gamma^2 > 4\alpha$. Тогда найдутся константы $M > 0, 0 < q < 1$, такие что при всех $i, j, k \in \mathbb{N}_0$ выполняются неравенства $|A^k \xi_i \mu_j| / |\mu_{i+j+k+1}| < Mq^k, |D^k \xi_i \mu_j| / |\mu_{i+j+k+1}| < Mq^k$.

Доказательство леммы не приводится, подобная лемма доказана в [4].

Теорема 1. Пусть в задаче (5) функции являются аналитическими и выполнены условия леммы 1. Тогда в окрестности точки с координатами $x = 0, y = 0$ задача (5) имеет аналитическое решение.

ДОКАЗАТЕЛЬСТВО. Решение задачи (5) строится в виде рядов (z обозначает u, v)

$$z(x, y) = \sum_{k, l \in \mathbb{N}_0} z_{k, l} \frac{x^k y^l}{k! l!}, \quad z_{k, l} = \frac{\partial^{k+l} z}{\partial x^k \partial y^l} \Big|_{x=y=0},$$

коэффициенты которых определяются индукцией по $n = k + l$. Пусть все функции $z_0, z_1, \dots, z_n, n \geq 1$ найдены. Чтобы найти z_{n+1} , уравнения дифференцируются k раз

по x и $n - k$ раз по y , при этом полагается $x = y = u = v = 0$ и учитываются краевые условия. В результате получаем соотношения

$$\begin{aligned}
 & u_{0,n+1} = 0, \\
 & v_{0,n+1} = Cu_{0,n+1} + Dv_{1,n} + q_{0,n}, \quad u_{1,n} = Au_{0,n+1} + Bv_{1,n} + p_{0,n}, \\
 & \dots\dots\dots \\
 & v_{k,n+1-k} = Cu_{k,n-k+1} + Dv_{k+1,n-k} + q_{k,n-k}, \quad u_{k+1,n-k} = Au_{k,n-k+1} + Bv_{k+1,n-k} + p_{k,n-k}, \\
 & \dots\dots\dots \\
 & v_{n,1} = Cu_{n,1} + Dv_{n+1,0} + q_{n,0}, \quad u_{n+1,0} = Au_{n,1} + Bv_{n+1,0} + p_{n,0}, \\
 & v_{n+1,0} = 0,
 \end{aligned}$$

представляющие собой СЛАУ, в которой неизвестными являются коэффициенты рядов. Система может быть разделена на две системы с трехдиагональными матрицами:

$$\begin{aligned}
 & \gamma u_{1,n} - Au_{2,n-1} = p_{0,n}^*, \\
 & -Au_{1,n} + \gamma u_{2,n-1} - Du_{3,n-2} = p_{1,n-1}^*, \\
 & \dots\dots\dots \\
 & -Au_{m,n+1-m} + \gamma u_{m+1,n-m} - Du_{m+2,n-1-m} = p_{m,n-m}^*, \\
 & \dots\dots\dots \\
 & -Au_{n-1,2} + \gamma u_{n,1} - Du_{n+1,0} = p_{n-1,1}^*, \\
 & -Au_{n,1} + u_{n+1,0} = p_{n,0}^*, \\
 & \gamma v_{n,1} - Av_{n-1,2} = q_{n,0}^*, \\
 & -Dv_{n,1} + \gamma v_{n-1,2} - Av_{n-2,3} = q_{n-1,1}^*, \\
 & \dots\dots\dots \\
 & -Dv_{m+1,n-m} + \gamma v_{m,n+1-m} - Av_{m-1,n+2-m} = q_{m,n-m}^*, \\
 & \dots\dots\dots \\
 & -Dv_{2,n-1} + \gamma v_{1,n} - Av_{0,n+1} = q_{1,n-1}^*, \\
 & -Dv_{1,n} + v_{n+1,0} = q_{0,n}^*,
 \end{aligned} \tag{6}$$

где

$$\begin{aligned}
 & u_{0,n+1} = v_{n+1,0} = 0, \\
 & p_{n,0}^* = p_{n,0}, \quad p_{m,n-m}^* = p_{m,n-m} + Bq_{0,m+1,n-1-m} - Dp_{m+1,n-1-m}, \quad m = 0, \dots, n-1, \\
 & q_{0,n}^* = q_{0,n}, \quad q_{m,n-m}^* = q_{m,n-m} + Cp_{0,m-1,n+1-m} - Aq_{m-1,n+1-m}, \quad m = n, \dots, 1.
 \end{aligned}$$

Матрицы системы (6) являются трехдиагональными с определителями, равными μ_{n+1} . Для решения этих систем используется метод прогонки. Лемма позволяет оценить решение с помощью геометрической прогрессии со знаменателем $0 < q < 1$ и доказать сходимость рядов.

ЗАМЕЧАНИЕ 1. Если коэффициенты A, B, C, D равны соответствующим коэффициентам системы (3), то условия теоремы 1 выполняются.

ЗАМЕЧАНИЕ 2. Теоремы существования и единственности решения задачи (5) в классе аналитических функций были доказаны в работах [4, 7], однако в отличие от [7] в условии теоремы 1 отсутствует обязательное требование гиперболичности системы. От результатов работы [4] теорема 1 отличается тем, что при построении коэффициентов рядов удается перейти к СЛАУ с трехдиагональными матрицами, что позволяет создать эффективную численную методику.

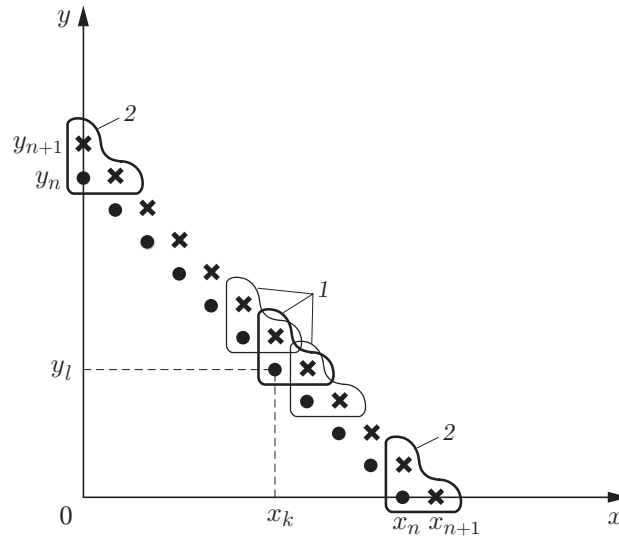


Рис. 1. Шаблон разностной схемы во внутренних узлах (1) и на границах (2) расчетной области

2.1. Численный метод. Разностная схема. Производные функций u, v представим в виде разностей (см. [9. С. 19]). Тогда система (5) принимает следующий вид (рис. 1):

$$\frac{u_{k+1,l}^h - u_{k,l}^h}{h} = a_{k,l} \frac{u_{k,l+1}^h - u_{k,l}^h}{h} + b_{k,l} \frac{v_{k+1,l}^h - v_{k,l}^h}{h} + f_{k,l},$$

$$\frac{v_{k,l+1}^h - v_{k,l}^h}{h} = c_{k,l} \frac{u_{k,l+1}^h - u_{k,l}^h}{h} + d_{k,l} \frac{v_{k+1,l}^h - v_{k,l}^h}{h} + g_{k,l}.$$

Здесь $e_{k,l} = e(kh, lh, u_{k,l}^h, v_{k,l}^h)$; $e = (a, b, c, d, f, g)$.

Из начальных условий задачи следует $u_{0,l}^h = v_{k,0}^h = 0$. Разностная схема является неявной. Проводя вычисления по слоям $n = k + l$, на каждом слое получаем следующую СЛАУ:

$$v_{n+1,0}^h = 0,$$

$$u_{n+1,0}^h = a_{n,0}u_{n,1}^h + b_{n,0}v_{n+1,0}^h + p_{n,0}^h, \quad v_{n,1}^h = c_{n,0}u_{n,1}^h + d_{n,0}v_{n+1,0}^h + q_{n,0}^h,$$

.....

$$u_{n-m+1,m}^h = a_{n-m,m}u_{n-m,m+1}^h + b_{n-m,m}v_{n-m+1,m}^h + p_{n-m,m}^h,$$

$$v_{n-m,m+1}^h = c_{n-m,m}u_{n-m,m+1}^h + d_{n-m,m}v_{n-m+1,m}^h + q_{n-m,m}^h,$$

.....

$$u_{1,n}^h = a_{0,n}u_{0,n+1}^h + b_{0,n}v_{1,n}^h + p_{0,n}^h, \quad v_{0,n+1}^h = c_{0,n}u_{0,n+1}^h + d_{0,n}v_{1,n}^h + q_{0,n}^h,$$

$$u_{0,n+1}^h = 0.$$

Здесь

$$p_{n-m,m}^h = (1 - a_{n-m,m}^h)u_{n-m,m}^h - b_{n-m,m}v_{n-m+1,m}^h + hf_{n-m,m},$$

$$q_{n-m,m}^h = -c_{n-m,m}u_{n-m,m+1}^h + (1 - d_{n-m,m}^h)v_{n-m+1,m}^h + hg_{n-m,m}.$$

Матрицы этой системы являются трехдиагональными, и, следовательно, система решается методом прогонки.

Таблица 1

Относительная погрешность решения задачи без особенности при различных шагах интегрирования

h	$\ u^h - u_\epsilon\ /\ u_\epsilon\ $	$\ v^h - v_\epsilon\ /\ v_\epsilon\ $
0,100	0,911	0,812
0,050	0,049	0,225
0,020	0,013	0,057
0,010	0,011	0,049
0,005	0,005	0,025

ЗАМЕЧАНИЕ 3. Пусть a, b, c, d — константы и $f(x, y), g(x, y)$ — непрерывные функции переменных x, y . Тогда из условий леммы 1 следует, что предложенная схема устойчива (см. [9. С. 92]). При этом условия $\mu_n \neq 0$ ($n \in \mathbb{N}$) являются условиями, при которых возможна прогонка, и не являются условиями диагонального преобладания.

2.2. *Вычислительный эксперимент.* В ходе вычислительного эксперимента решено значительное число задач и проведено сравнение результатов расчетов с аналитическими решениями. Ниже приводится одна из таких задач:

$$\begin{aligned} u_x &= 2u_y + v_x + y^3 - 6xy^2 + 2xy + 2x, & u(0, y) &= 0, \\ v_y &= 0,5u_y + 2v_x - 1,5xy^2 - x^2 + 4xy + 3y^2, & v(x, 0) &= 0. \end{aligned}$$

Аналитическим решением данной задачи являются функции $u = xy^3 + x^2$ и $v = y^3 - x^2y$. Численное решение проводилось с использованием изложенного выше метода. В табл. 1 приведены значения относительной погрешности при различных шагах h (норма вычисляется в пространстве непрерывных функций). Из табл. 1 следует, что метод решения сходится со скоростью h .

3. Задача с особенностью. Рассматривается ОЗК с особенностью вида u/x :

$$\begin{aligned} u_x &= a(x, y, u, v)u_y + b(x, y, u, v)v_x + \frac{u}{x} f(x, y, u, v) + F(x, y, u, v), \\ v_y &= c(x, y, u, v)u_y + d(x, y, u, v)v_x + \frac{u}{x} g(x, y, u, v) + G(x, y, u, v), \\ u(0, y) &= 0, & v(x, 0) &= 0. \end{aligned} \tag{7}$$

К задаче (7) сводится задача о распространении с конечной скоростью УВ от оси или центра симметрии [4].

Пусть функции $A, B, C, D, \alpha, \beta, \gamma$ имеют тот же смысл, что и выше, при этом $f_0 = f(O), g_0 = g(O)$. Также выполняются следующие соотношения:

$$\begin{aligned} D_n &= D - \frac{f_0 D}{n} + \frac{B g_0}{n}, & \gamma_n &= \gamma - \frac{f_0}{n}, & \gamma_n^* &= 1 - \frac{f_0}{n}, & \alpha_n &= A D_n, \\ \lambda_0 &= 1, & \lambda_1 &= \gamma_1, & \lambda_{n+1} &= \gamma_{n+1} \lambda_n - \alpha_{n+1} \lambda_{n-1}, \\ \mu_0 &= 1, & \mu_1 &= \gamma_1^*, & \mu_{n+1} &= \gamma_{n+1}^* \lambda_n - \alpha_{n+1} \lambda_{n-1}, \\ \eta_0^{(n)} &= 1, & \eta_1^{(n)} &= \gamma_n^*, & \eta_2^{(n)} &= \gamma_{n-1} \eta_1^{(n)} - \alpha_n \eta_0^{(n)}, & \dots, \\ \eta_{k+1}^{(n)} &= \gamma_{n-k} \eta_k^{(n)} - \alpha_{n-k+1} \eta_{k-1}^{(n)}, & \dots, & \eta_n^{(n)} &= \gamma_1 \eta_{n-1}^{(n)} - \alpha_2 \eta_{n-2}^{(n)}, \\ & & & n &= 1, 2, \dots, & k &= 0, \dots, n. \end{aligned}$$

Лемма 2. *Справедливы равенства $\mu_n = \eta_n^{(n)}$, $n = 0, 1, \dots$*

Лемма 3. Пусть $\mu_n \neq 0$, $\lim_{n \rightarrow \infty} \mu_{n+1}/\mu_n = \mu_\infty$, $|\alpha|/\mu_\infty^2 < 1$. Тогда найдутся константы $M > 0$ и $0 < q < 1$, такие что при всех $i, j, k \in \mathbb{N}_0$ справедливы неравенства

$$\frac{|A^k \lambda_i \eta_j^{(k+i+j+1)}|}{|\mu_{i+j+k+1}|} < Mq^k, \quad \frac{1}{|\mu_{i+j+k+1}|} \left| \left(\prod_{l=m+1}^{m+k} D_l \right) \lambda_i \eta_j^{(k+i+j+1)} \right| < Mq^k.$$

Доказательства лемм не приводятся. Леммы 2, 3 используются при доказательстве следующей теоремы.

Теорема 2. Пусть все функции a, b, c, d, f, g, F, G являются аналитическими в некоторой окрестности точки O с координатами $x = 0, y = 0, u = 0, v = 0$ и выполнены условия леммы 3. Тогда задача (7) имеет единственное аналитическое решение в окрестности точки с координатами $x = 0, y = 0$.

ДОКАЗАТЕЛЬСТВО. Решение задачи (7) строится в виде степенных рядов, коэффициенты которых определяются при решении следующей СЛАУ:

$$\begin{aligned} u_{0,n+1} &= 0, \\ v_{0,n+1} &= Cu_{0,n+1} + Dv_{1,n} + g_0u_{1,n} + q_{0,n}, \\ u_{1,n} &= Au_{0,n+1} + Bv_{1,n} + f_0u_{1,n} + p_{0,n}, \\ &\dots\dots\dots \\ v_{k,n+1-k} &= Cu_{k,n-k+1} + Dv_{k+1,n-k} + \frac{g_0}{k+1} u_{k+1,n-k} + q_{k,n-k}, \\ u_{k+1,n-k} &= Au_{k,n-k+1} + Bv_{k+1,n-k} + \frac{f_0}{k+1} u_{k+1,n-k} + p_{k,n-k}, \\ &\dots\dots\dots \\ v_{n,1} &= Cu_{n,1} + Dv_{n+1,0} + \frac{g_0}{n+1} u_{n+1,0} + q_{n,0}, \\ u_{n+1,0} &= Au_{n,1} + Bv_{n+1,0} + \frac{f_0}{n+1} u_{n+1,0} + p_{n,0}, \\ v_{n+1,0} &= 0. \end{aligned} \tag{8}$$

Преобразовав систему (8), можно выделить замкнутую подсистему

$$\begin{aligned} u_{0,n+1} &= 0, \\ -Au_{0,n+1} + \gamma_1 u_{1,n} - D_2 u_{2,n-1} &= p_{0,n}^*, \\ &\dots\dots\dots \\ -Au_{m,n+1-m} - \gamma_{m+1} u_{m+1,n-m} - D_{m+2} u_{m+2,n-m-1} &= p_{m,n-m}^*, \\ &\dots\dots\dots \\ -Au_{n-1,2} - \gamma_n u_{n,1} - D_{n+1} u_{n+1,0} &= p_{n-1,1}^*, \\ -Au_{n,1} + \gamma_{n+1}^* u_{n+1,0} &= p_{n,0}^*. \end{aligned} \tag{9}$$

Здесь $p_{n,0}^* = p_{n,0}$; $p_{m,n-m}^* = p_{m,n-m} + Bq_{m+1,n-m-1} - Dp_{m+1,n-m-1}$, $m = 0, \dots, n - 1$.

Решение системы (9), являющейся системой с трехдиагональными матрицами с делителем μ_{n+1} , имеет вид

$$u_{n+1,0} = \frac{\eta_0^{(n+1)}}{\mu_{n+1}} \sum_{i=0}^n \lambda_i A^{n-i} p_{i,n-i}^*,$$

$$u_{n-k+1,k} = \frac{\eta_k^{(n+1)}}{\mu_{n+1}} \sum_{i=0}^{n-k} \lambda_i A^{n-k-i} p_{i,n-i}^* + \frac{\lambda_{n-k}}{\mu_{n+1}} \sum_{i=n-k+1}^n \left[\left(\prod_{j=n-k+1}^n D_{j+1} \right) \eta_{n-i}^{(n+1)} p_{i,n-i}^* \right],$$

$$u_{1,n} = \frac{\lambda_0}{\mu_{n+1}} \sum_{i=1}^n \left(\prod_{j=2}^{i+1} D_j \right) \eta_{n-i}^{(n+1)} p_{i,n-i}^* + \frac{\eta_n^{(n+1)}}{\mu_{n+1}} p_{0,n}^*.$$

Решив вспомогательную систему (9), из системы (8) находим

$$v_{n,1} = C u_{n,1} + \frac{g_0}{n+1} u_{n+1,0} + q_{n,0}, \quad v_{n-1,2} = C u_{n-1,2} + D v_{n,1} + \frac{g_0}{n} u_{n,1} + q_{n-1,1},$$

.....

$$v_{0,n+1} = C u_{0,n+1} + D v_{1,n} + g_0 u_{1,n} + q_{0,n}.$$

Сходимость рядов доказывается методом мажорант. Мажорантная задача строится следующим образом. Пусть $\tilde{p} = x[(a - A)u_y + (b - B)v_x + F] + u(f - f_0)$, $\tilde{q} = x[(c - C)u_y + (d - D)v_x + G] + u(g - g_0)$. Мажоранту для \tilde{p} и \tilde{q} запишем в виде

$$\tilde{R} = \frac{M_0}{1 - (x + y + U + V)/\rho_0} [(x + y + U + V)(xU_y + xV_x + U) + x].$$

Полагая

$$p_{k,n-k} = \frac{1}{k+1} \frac{\partial^{n+1} \tilde{p}}{\partial x^{k+1} \partial y^{n-k}}, \quad q_{k,n-k} = \frac{1}{k+1} \frac{\partial^{n+1} \tilde{q}}{\partial x^{k+1} \partial y^{n-k}}, \quad R_{k,n-k} = \frac{1}{k+1} \frac{\partial^{n+1} \tilde{R}}{\partial x^{k+1} \partial y^{n-k}},$$

будем вычислять константы $U_{k,l}$, $V_{k,l}$ по формулам

$$U_{0,0} = V_{0,0} = 0, \quad U_{1,0} = V_{0,1} = R_{0,0}, \quad U_{0,1} = V_{1,0} = 0,$$

.....

$$U_{0,n} = V_{n,0} = 0, \quad U_{n+1,0} = M \left(R_{n,0} + \sum_{i=0}^{n-1} q^{n-i} (R_{i,n-i} + |B|R_{i+1,n-i-1} + |D|R_{i+1,n-i-1}) \right),$$

$$U_{k+1,n-k} = M \left(\sum_{i=0}^k q^{k-i} (R_{i,n-i} + |B|R_{i+1,n-i-1} + |D|R_{i+1,n-i-1}) + \sum_{i=k+1}^{n-1} q^{i-k} (R_{i,n-i} + |B|R_{i+1,n-i-1} + |D|R_{i+1,n-i-1}) + q^{n-k} R_{n,0} \right), \quad k = 0, \dots, n-1.$$

Пусть $B \neq 0$ (случай $B = 0$ не рассматривается, так как является тривиальным). Тогда

$$Bv_{k,n-k+1} = (\beta - \alpha)u_{k,n-k+1} + \left(1 + \frac{g_0 B - f_0 D}{k+1} \right) u_{k+1,n-k} + Bq_{k,n-k} - Dp_{k,n-k},$$

$$V_{k,n-k+1} = \frac{|\beta| + |\alpha|}{|B|} U_{k,n-k+1} + \frac{1}{|B|} \left(1 + \frac{|g_0 B| + |f_0 D|}{k+1} \right) U_{k+1,n-k} + R_{k,n-k} + \frac{|D|}{|B|} R_{k,n-k}.$$

Вследствие леммы 3 справедливы неравенства $V_{k,l} \geq |v_{k,l}|$, $U_{k,l} \geq |u_{k,l}|$.

Докажем сходимость рядов $\sum_{k,l=0}^{\infty} \frac{V_{k,l}}{k!l!} x^k y^l$ и $\sum_{k,l=0}^{\infty} \frac{U_{k,l}}{k!l!} x^k y^l$. Для этого введем функцию

$$R^*(x + y) = \frac{M_1}{1 - (t + 2W)/\rho_1} [(t + 2W)2W_t + 1],$$

так чтобы выполнялось условие $R^*(x + y) \gg \sum_{k,l=0}^{\infty} \frac{R_{k,l}}{k!l!} x^k y^l$. Это возможно по построению $R_{k,l}$ в силу аналитичности всех входных данных. Будем вычислять константы W_n по формулам

$$W_0 = 0, \quad W_1 = M_4 R_0^* > U_{1,0} = V_{0,1} > U_{0,1} = V_{1,0} = 0,$$

$$W_{n+1} = M_4 R_n^*, \quad R_n^* = \left. \frac{d^n R}{dt^n} \right|_{t=0, W=0},$$

где

$$M_4 = M_2 M_3 + 1 + \frac{|D|}{|B|}, \quad M_2 = (1 + |B| + |D|) \frac{2M}{1 - q}, \quad M_3 = \frac{1}{|B|} (1 + |\beta| + |\alpha| + |B g_0| + |D f_0|).$$

Тогда $W_n \geq \max_{k+l=n} \{U_{k,l}; V_{k,l}\}$, т. е. $W(x + y) \gg U, V$.

В то же время построение ряда $\sum_{n=0}^{\infty} \frac{W_n}{n!} t^n$ равносильно решению задачи Коши

$$W_t = \frac{M_4 M_1}{1 + (t + 2W)/\rho_1} [(t + 2W^*)2W_t^* + 1], \quad W(0) = 0.$$

Если это дифференциальное уравнение записать в нормальном виде $W_t = H(t, W)$, то его правая часть будет аналитической функцией, мажорирующей нуль. Согласно теореме Коши такая задача Коши имеет единственное решение, задаваемое сходящимся рядом, который в свою очередь мажорирует решение исходной задачи. Теорема 2 доказана.

ЗАМЕЧАНИЕ 4. Теорема 2 обобщает и уточняет доказанную ранее для задачи (7) теорему [4], при этом исключены требования $f_0 \neq n$ (кроме требования $f_0 \neq 1$).

3.1. Численный метод. Разностная схема. Как и в случае ОЗК без особенности, производные функций u, v представим в виде разностей. Тогда система (7) принимает вид

$$e_{k,l} = e(kh, lh, u_{k,l}^h, v_{k,l}^h), \quad e = (a, b, c, d, f, g, F, G),$$

$$\frac{u_{k+1,l}^h - u_{k,l}^h}{h} = a_{k,l} \frac{u_{k,l+1}^h - u_{k,l}^h}{h} + b_{k,l} \frac{v_{k+1,l}^h - v_{k,l}^h}{h} + \frac{u_{k+1,l}^h}{(k+1)h} f_{k,l} + F_{k,l},$$

$$\frac{v_{k,l+1}^h - v_{k,l}^h}{h} = c_{k,l} \frac{u_{k,l+1}^h - u_{k,l}^h}{h} + d_{k,l} \frac{v_{k+1,l}^h - v_{k,l}^h}{h} + \frac{u_{k+1,l}^h}{(k+1)h} g_{k,l} + G_{k,l}.$$

В выражении u/x значения u, x вычисляются не в точке (k, l) , а в точке $(k + 1, l)$, чтобы при $k = 0$ избавиться от неопределенности $0/0$.

Шаблон разностной схемы аналогичен шаблону для задачи без особенности (см. рис. 1).

Из начальных условий задачи следует $u_{0,k}^h = v_{l,0}^h = 0$. Проводя вычисления по слоям $n = k + l$, на каждом слое получаем СЛАУ. Отметим, что введение в систему особенности существенно осложняет приведение получаемых систем уравнений к системам с трехдиагональными матрицами. В результате преобразований получаем

$$u_{0,n+1}^h = 0,$$

$$-a_{0,n} u_{0,n+1}^h + \gamma_{0,n} u_{1,n}^h - d_{0,n}^* u_{2,n-1}^h = R_{0,n},$$

$$-a_{1,n-1} u_{1,n}^h + \gamma_{1,n-1} u_{2,n-1}^h - d_{1,n-1}^* u_{3,n-2}^h = R_{1,n-1},$$

.....

$$\begin{aligned}
 & -a_{k,l}u_{k,l+1}^h + \gamma_{k,l}u_{k+1,l}^h - d_{k,l}^*u_{k+2,l-1}^h = R_{k,l}, \\
 & \dots\dots\dots \\
 & -a_{n,0}u_{n,1}^h + \gamma_{n,0}^*u_{n+1,0}^h = R_{n,0}.
 \end{aligned}$$

Здесь

$$\gamma_{k,l} = 1 - \frac{f_{k,l}}{k+1} + a_{k+1,l-1}d_{k+1,l-1} \frac{b_{k,l}}{b_{k+1,l-1}} - b_{k,l}c_{k+1,l-1}, \quad \gamma_{n,0}^* = 1 - \frac{f_{n,0}}{n+1},$$

$$d_{k,l}^* = d_{k+1,l-1} \frac{b_{k,l}}{b_{k+1,l-1}} - \frac{b_{k,l}}{k+2} \left(\frac{f_{k+1,l-1}d_{k+1,l-1}}{b_{k+1,l-1}} - g_{k+1,l-1} \right),$$

$$R_{k,l} = -\frac{d_{k+1,l-1}b_{k,l}}{b_{k+1,l-1}} p_{k+1,l-1}^* + b_{k,l}q_{k+1,l-1}^* + p_{k,l}^*, \quad R_{n,0} = p_{n,0}^*,$$

$$p_{k,l}^* = (1 - a_{k,l})u_{k,l}^h - b_{k,l}v_{k,l}^h + hF_{k,l}, \quad q_{k,l}^* = -c_{k,l}u_{k,l}^h + (1 - d_{k,l})v_{k,l}^h + hG_{k,l}.$$

Определив все значения $u_{k+1,l}^h$ ($k = 0, \dots, n$), значения $v_{k,l}^h$ можно найти из системы

$$\begin{aligned}
 & v_{n+1,0}^h = 0, \\
 & v_{n,1}^h = c_{n,0}u_{n,1}^h + \frac{1}{n+1} G_{n,0}u_{n+1,0}^h + q_{n,0}^*, \\
 & v_{n-1,2}^h = c_{n-1,1}u_{n-1,2}^h + d_{n-1,1}v_{n,1}^h + \frac{1}{k+1} G_{n-1,1}u_{n,1}^h + q_{n-1,1}^*, \\
 & \dots\dots\dots \\
 & v_{k,l+1}^h = c_{k,l}u_{k,l+1}^h + d_{k,l}v_{k+1,l}^h + \frac{1}{k+1} G_{k,l}u_{k+1,l}^h + q_{k,l}^*, \\
 & \dots\dots\dots \\
 & v_{0,n+1}^h = d_{0,n+1}v_{1,n}^h + G_{0,n}u_{1,n}^h + q_{0,n}^*.
 \end{aligned}$$

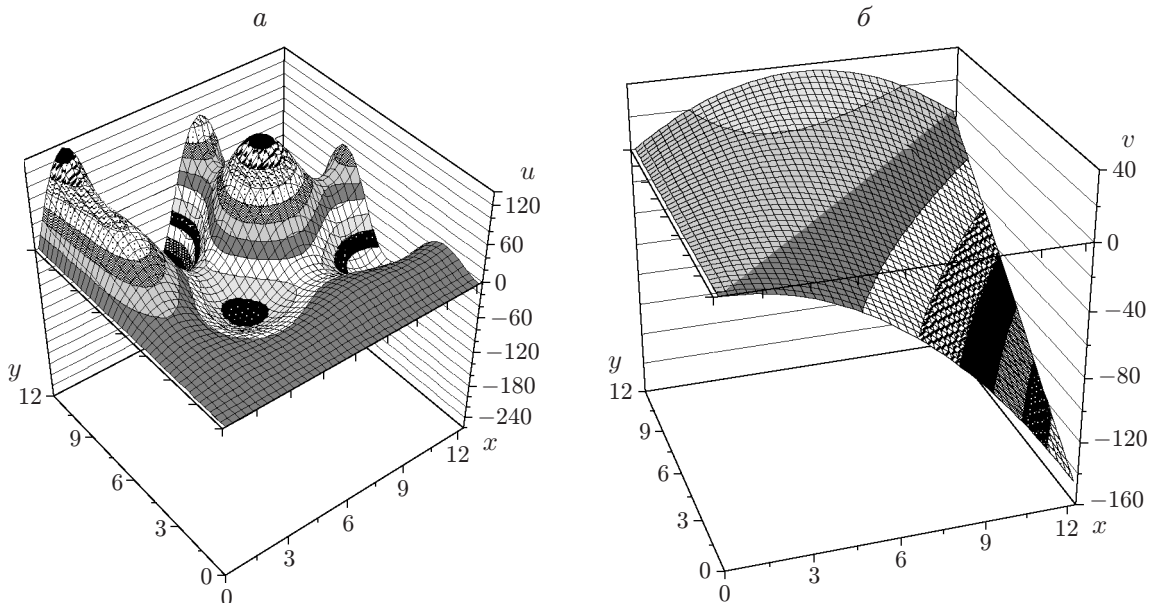


Рис. 2. Линии уровня функций $u(x, y)$ (а) и $v(x, y)$ (б)

Таблица 2

Относительная погрешность решения задачи с особенностью при различных шагах интегрирования

h	$\ u^h - u_e\ /\ u_e\ $	$\ v^h - v_e\ /\ v_e\ $
0,100	0,864	0,652
0,050	0,041	0,112
0,020	0,011	0,074
0,010	0,007	0,038
0,005	0,002	0,005

3.2. *Вычислительный эксперимент.* Рассматривается квазилинейная система, в правых частях уравнений которой содержатся тригонометрические функции:

$$\begin{aligned} u_x &= uu_y + v_x + 0,5u/x + 1,5x \sin y + (0,5y - ux) \sin x + xy \cos x - ux^2 \cos y - y, \\ v_y &= u_y + uv_x + 0,5u/x - x^2 \cos y - 0,5x \sin y - (x + 0,5y) \sin x - (u + 2)y + x, \\ u|_{x=0} &= 0, \quad v|_{y=0} = 0. \end{aligned}$$

Аналитическим решением данной задачи являются функции $u = y^2 \sin x + xy \sin y$ и $v = (x - y)y$.

Численное решение проводилось с использованием изложенного выше метода в области с размерами $x \in [0, 12]$, $y \in [0, 12]$. Результаты расчетов представлены на рис. 2. В табл. 2 приведены значения относительной погрешности при различных шагах h (норма также вычисляется в пространстве непрерывных функций). Из табл. 2 следует, что метод решения ОЗК с особенностью также сходится со скоростью h .

ЛИТЕРАТУРА

1. **Овсянников Л. В.** Лекции по основам газовой динамики. М.; Ижевск: Ин-т компьютер. исслед., 2003.
2. **Riquier Ch.** Les systemes d'equations aux derivees partielles. P.: Gauthier-Villars, 1910.
3. **Леднев Н. А.** Новый метод решения дифференциальных уравнений с частными производными // Мат. сб. 1948. Вып. 2. С. 205–266.
4. **Баутин С. П.** Обобщенная задача Коши и ее приложения / С. П. Баутин, А. Л. Казаков. Новосибирск: Наука. Сиб. издат. фирма, 2006.
5. **Тещуков В. М.** Построение фронта ударной волны в пространственной задаче о поршне // Динамика сплошной среды / АН СССР. Сиб. отд-ние. Ин-т гидродинамики. 1978. Вып. 33. С. 114–133.
6. **Тещуков В. М.** Распад произвольного разрыва на криволинейной поверхности // ПМТФ. 1980. № 2. С. 126–133.
7. **Тещуков В. М.** О регулярном отражении ударной волны от жесткой стенки // Прикл. математика и механика. 1982. Т. 46, № 2. С. 225–234.
8. **Казаков А. Л.** Построение кусочно-аналитических течений газа, состыкованных через ударные волны, вблизи оси или центра симметрии // ПМТФ. 1998. Т. 39, № 5. С. 25–38.
9. **Самарский А. А.** Устойчивость разностных схем / А. А. Самарский, А. В. Гулин. М.: Едиториал УРСС, 2005.